arXiv:1106.0816v1 [math-ph] 4 Jun 2011

Dedicated to the Memory of
our Teacher Carlo Cercignani

New method of solving of boundary problems in kinetic theory

A. V. Latyshev[1] **and A. A. Yushkanov**[2]

Faculty of Physics and Mathematics,
Moscow State Regional University, 105005,
Moscow, Radio str., 10–A

Содержание

1 Введение. О точных решениях граничных задач кинетической теории 2
1.1 История проблемы 3
1.2 О новом методе решения 5
1.3 Явление скольжения 6

2 Постановка задачи 7

3 Кинетическое уравнение во втором и четвертом квадрантах фазового пространства 11

4 Характеристическая система 12

5 Ряд Неймана 13
5.1 Нулевое приближение 15
5.2 Первое приближение 16
5.3 Второе приближение 19
5.4 Высшие приближения 20
5.5 Сравнение с точным решением 22
5.6 Профиль скорости газа в полупространстве и ее значение у стенки . . . 22

6 Обратная задача Крамерса 24

7 Заключение 29

---

[1] *avlatyshev@mail.ru*
[2] *yushkanov@inbox.ru*

Список литературы **30**

The classical Kramers problem with specular – diffuse boundary conditions of the kinetic theory is considered. On an example of Kramers problem the new method of the decision of the boundary problems of the kinetic theory is stated. The method allows to receive the decision with any degree of accuracy. At the basis of a method lays the idea of representation of a boundary condition on distribution function in the form of a source in the kinetic equation. By means of integrals Furier the kinetic equation with a source is reduced to the integral equation of Fredholm type of the second kind. The decision is received in the form of Neumann's series.

Рассматривается классическая проблема кинетической теории – задача Крамерса с зеркально – диффузными граничными условиями. Задача Крамерса – это задача о нахождении функции распределения, массовой скорости и скорости скольжения разреженного газа вдоль плоской твердой поверхности в случае, когда газ движется вдоль некоторой оси, вдоль которой и вдали от стенки задан градиент массовой скорости газа. На примере задачи Крамерса развивается новый метод решения граничных задач кинетической теории. Получено решение полупространственной задачи Крамерса об изотермическом скольжении одноатомного газа с зеркально – диффузными граничными условиями. Метод позволяет получить решение с произвольной степенью точности. В основе метода лежит идея представления граничного условия на функцию распределения в виде источника в кинетическом уравнении. Решение получено в виде ряда Неймана. Решается также обратная задача Крамерса.

Key words: the Kramers problem, reflection – diffusion boundary conditions, the Neumann series.

PACS numbers: 51. Physics of gases, 51.10.+y Kinetic and transport theory of gases.

1 Введение. О точных решениях граничных задач кинетической теории

Задача Крамерса является одной из важнейших задач кинетической теории газов. Эта задача имеет большое практическое значение. Решение этой задачи изложено в таких монографиях, как [1] и [2].

1.1 История проблемы

Ровно 50 лет тому назад К. М. Кейз в своей знаменитой работе [3] заложил основы аналитического решения граничных задач теории переноса. Идея этого метода состояла в следующем: найти общее решение неоднородного характеристического уравнения, отвечающего уравнению переноса, в классе обобщенных функций в виде суммы двух обобщенных функций – главного значения интеграла $V.P.x^{-1}$ (valeur principal) и слагаемого, пропорционального дельта–функции Дирака.

Первое из этих слагаемых является частным решением неоднородного характеристического уравнения, а второе является общим решением соответствующего однородного уравнения, отвечающего неоднородному характеристическому. Коэффициентом пропорциональности в этом выражении стоит так называемая дисперсионная функция. Нули дисперсионной функции связаны взаимно однозначно с частными решениями исходного уравнения переноса.

К характеристическому уравнению мы приходим после экспоненциального (согласно Эйлеру) разделения переменных в уравнении переноса. С помощью спектрального параметра мы разделяем пространственную и скоростную переменные в уравнении переноса.

Общее решение характеристического уравнения содержит в качестве частного решения сингулярное ядро Коши $V.\,P.\,(\eta-\mu)^{-1}$, знаменатель которого есть разность скоростной и спектральной переменной.

Именно ядро Коши позволяет использовать всю мощь методов теории функций комплексного переменного – в частности, теории краевых задач Римана — Гильберта.

Итак, построение собственных функций характеристического уравнения приводит к понятию дисперсионного уравнения, корни которого находятся во взаимно однозначном соответствии с частными (дискретными) решениями исходного уравнения переноса.

Общее решение граничных задач для уравнения переноса ищется в виде линейной комбинации дискретных решений с произвольными коэффициентами (эти коэффициенты называются дискретными коэффициентами) и интеграла по спектральному параметру от собственной функции непрерывного спектра, умноженных на неизвестную функцию (коэффициент непрерывного спектра). Некоторые дискретные коэффициенты задаются и считаются известными. Дискретные коэффициенты отвечают дискретному спектру, или, в некоторых случаях, отвечают спектру, присоединенному к непрерывному.

Подстановка общего решения в граничные условия приводит к интегральному сингулярному уравнению с ядром Коши. Решение этого уравнения позволяет построить решение исходной граничной задачи для уравнения переноса.

Действуя именно таким способом, К. Черчиньяни в 1962 г. в работе [4] построил точное решение задачи Крамерса об изотермическом скольжении. Эта задача является важной содержательной задачей кинетической теории.

Работы [3, 4] заложили основы аналитических методов для получения точных решений модельных кинетических уравнений.

Затем в работах [5]–[8] Черчиньяни и его соавторы получили ряд значительных результатов для кинетической теории газов. Эти результаты получили дальнейшее обобщение в наших последующих работах.

Обобщение этого метода на векторный случай (системы кинетических уравнений) наталкивается на значительные трудности (см., например, [9]). С такими трудностями столкнулись авторы работ [9, 10, 11], в которых делались попытки решить задачу о температурном скачке (задача Смолуховского).

Преодолеть эти трудности удалось в работе [12], в которой впервые дано решение задачи Смолуховского. Затем эта задача была обобщена на случай слабого испарения [13] – [14], не молекулярные газы [15] и [16], на безмассовые Бозе – газы, на скачок температуры в металле (случай вырожденной плазмы) [18] и [19], и на другие проблемы [20] и [21].

Затем в работах [22] и [23] было дано решение задачи об умеренно сильном испарении (конденсации). Одномерная задача о сильном испарении была поставлена в работе [24] и была сделана попытка получить ее точное решение.

Задача о температурном скачке для БГК – уравнения с частотой столкновений, пропорциональной модулю скорости молекул, была решена методом Винера — Хопфа в работе [25]. Затем в более общей постановке с учетом слабого испарения (конденсации) эта задача была решена методом Кейза в нашей работе [26].

Задача Крамерса в дальнейшем была обобщена на случай бинарных газов [27] – [30], была решена с использованием высших моделей уравнения Больцмана [31] – [33], была обобщена на случай зеркально – диффузных граничных условий [34] – [36].

Нестационарные задачм для кинетических уравнений рассматривались в наших работах [37] и [38].

Различные проблемы теории скин – эффекта рассматривались в работах [39] – [42].

В последнее десятилетие задача Крамерса была сформулирована и аналитически решена для квантовых газов [43].

Вопросам теории плазмы посвящены наши работы [44] – [56].

В наших работах [57] – [64] были развиты приближенные методы решения граничных задач кинетической теории с зеркально – диффузными граничными условиями.

В настоящей работе мы развиваем новый эффективный метод решения граничных задач с зеркально – диффузными граничными условиями.

1.2 О новом методе решения

В основе предлагаемого метода лежит идея включить граничное условие на функцию распределения в виде источника в кинетическое уравнение.

Суть предлагаемого метода состоит в следующем. Сначала формулируется в полупространстве $x > 0$ классическая задача Крамерса об изотермическом скольжении с зеркально – диффузными граничными условиями. Затем функция распределения продолжается в сопряженное полупространство $x < 0$ четным образом по пространственной и по скоростной переменным. В полупространстве $x < 0$ также формулируется задача Крамерса.

После того как получено линеаризованное кинетическое уравнение разобьем искомую функцию (которую также будем называть функцией распределения) на два слагаемых: чепмен — энскоговскую функцию распределения $h_{as}(x, \mu)$ и вторую часть функции распределения $h_c(x, \mu)$, отвечающей непрерывному спектру:

$$h(x, \mu) = h_{as}(x, \mu) + h_c(x, \mu),$$

$(as \equiv asymptotic, c \equiv continuous)$.

В силу того, что чепмен – энскоговская функция распределения есть линейная комбинация дискретных решений исходного уравнения, функция $h_c(x, \mu)$ также является решением кинетического уравнения. Функция $h_c(x, \mu)$ обращается в нуль вдали от стенки. На стенке эта функция удовлетворяет зеркально – диффузному граничному условию.

Далее мы преобразуем кинетическое уравнение для функции $h_c(x, \mu)$, включив в это уравнение в виде члена типа источника, лежащего в плоскости $x = 0$, граничное условие на стенке для функции $h_c(x, \mu)$. Подчеркнем, что функция $h_c(x, \mu)$ удовлетворяет полученному кинетическому уравнению в обеих сопряженных полупространствах $x < 0$ и $x > 0$.

Это кинетическое уравнение мы решаем во втором и четвертом квадрантах фазовой плоскости (x, μ) как линейное дифференциальное уравнение первого порядка, считая известным массовую скорость газа $U_c(x)$. Из полученных решений находим граничные значения неизвестной функции $h^{\pm}(x, \mu)$ при $x = \pm 0$, входящие в кинетическое уравнение.

Теперь мы разлагаем в интегралы Фурье неизвестную функцию $h_c(x, \mu)$, неизвестную массовую скорость $U_c(x)$ и дельта – функцию Дирака. Граничные значения неизвестной функции $h_c^{\pm}(0, \mu)$ при этом выражаются одним и тем же интегралом на спектральную плотность $E(k)$ массовой скорости.

Подстановка интегралов Фурье в кинетическое уравнение и выражение массовой скорости приводит к характеристической системе уравнений. Если исключить из этой системы спектральную плотность $\Phi(k, \mu)$ функции $h_c(x, \mu)$, мы получим интегральное уравнение Фредгольма второго рода. Ядро этого уравнения назовем ядром Максвелла — Неймана.

Считая градиент массовой скорости заданным, разложим неизвестную скорость скольжения, а также спектральные плотности массовой скорости и функции распределения в ряды по степеням коэффициента диффузности q (это ряды Неймана). На этом пути мы получаем счетную систему зацепленных уравнений на коэффициенты рядов для спектральных плотностей. При этом все уравнения на коэффициенты спектральной плотности для массовой скорости имеют особенность (полюс второго порядка в нуле). Исключая эти особенности последовательно, мы построим все члены ряда для скорости скольжения, а также ряды для спектральных плотностей массовой скорости и функции распределения.

В последнем п.мы считаем заданным скорость скольжения, а неизвестным мы считаем величину градиента массовой скорости.

1.3 Явление скольжения

Изложим физику скольжения газа вдоль плоской поверхности.

Пусть газ занимает полупространство $x > 0$ над твердой плоской неподвижной стенкой. Возьмем декартову систему координат с осью x, перпендикулярной стенке, и с плоскостью (y, z), совпадающей со стенкой, так что начало координат лежит на стенке.

Предположим, что вдали от стенки и вдоль оси y задан градиент массовой скорости газа, величина которого равна g_v:

$$g_v = \left(\frac{du_y(x)}{dx}\right)_{x=+\infty}.$$

Задание градиента массовой скорости газа вызывает течение газа вдоль стенки. Рассмотрим это течение в отсутствии тангенциального градиента давления и при постоянной температуре. В этих условиях массовая скорость газа будет иметь только одну тангенциальную составляющую $u_y(x)$, которая вдали от стенки будет меняться по линейному закону. Отклонение от линейного распределения будет происходить вблизи стенки в слое, часто называемом слоем Кнудсена, толщина которого имеет порядок длины свободного пробега l. Вне слоя Кнудсена течение газа описывается уравнениями Навье — Стокса. Явление движения газа вдоль поверхности, вызываемое градиентом массовой скорости, заданным вдали от стенки, называется изотермическим скольжением газа.

Для решения уравнений Навье–Стокса требуется поставить граничные условия на стенке. В качестве такого граничного условия принимается экстраполированное значение гидродинамической скорости на поверхности – величина u_{sl}.

Отметим, что реальный профиль скорости в слое Кнудсена отличен от гидродинамического. Для получения величины u_{sl} требуется решить уравнение Больцмана в слое Кнудсена. При малых градиентах скорости имеем:

$$u_{sl}=K_v l G_v, \qquad G_v=\left(\frac{du_y(x)}{dx}\right)_{x=+\infty}.$$

Задача нахождения скорости изотермического скольжения u_{sl} называется задачей Крамерса (см., например, [1]. Определение величины u_{sl} позволяет, как увидим ниже, полностью построить функцию распределения газовых молекул в данной задаче, найти профиль распределения в полупространстве массовой скорости газа, а также найти значение массовой скорости газа на границе полупространства.

2 Постановка задачи

Пусть разреженный одноатомный газ занимает полупространство
$x>0$ над плоской стенкой.

В качестве кинетического уравнения для функции распределения будем использовать кинетическое уравнение Больцмана с интегралом столкновений в форме $\tau-$ модели ($\tau-$приближения):

$$\frac{\partial f}{\partial t}+\mathbf{v}\frac{\partial f}{\partial \mathbf{r}}=\frac{f_{eq}(\mathbf{r},\mathbf{v},t)-f(\mathbf{r},\mathbf{v},t)}{\tau}. \tag{1.1}$$

В уравнении (1.1) τ – характерное время между двумя последовательными столкновениями, $\tau=1/\nu$, ν – эффективная частота столкновений, $f_{eq}(\mathbf{r},\mathbf{v},t)$ – локально – равновесная функция распределения,

$$f_{eq}(\mathbf{r},\mathbf{v},t)=n\Big(\frac{m}{2\pi kT}\Big)^{3/2}\exp\Big[-\frac{m}{2kT}(\mathbf{v}-\mathbf{u}(\mathbf{r},t))^2\Big],$$

$\mathbf{u}(\mathbf{r},t)$ – массовая скорость газа.

Сформулируем зеркально – диффузные граничные условия для функции распределения:

$$f(t,+0,\mathbf{v})=qf_0(v)+(1-q)f(t,+0,-v_x,v_y,v_z), \quad v_x>0, \tag{1.2}$$

где q – коэффициент диффузности, $0\leqslant q\leqslant 1$, $f_0(v)$ – абсолютный максвеллиан,

$$f_0(v)=n\Big(\frac{m}{2\pi kT}\Big)^{3/2}\exp\Big(-\frac{mv^2}{2kT}\Big).$$

В уравнении (1.2) параметр q (коэффициент диффузности) – часть молекул, рассеивающихся границей диффузно, $1-q$ – часть молекул, рассеивающихся зеркально.

Продолжим функцию распределения на сопряженное полупространство симметричным образом:

$$f(t,x,\mathbf{v})=f(t,-x,-v_x,v_y,v_z). \tag{1.3}$$

Продолжение согласно (1.3) на полупространство $x<0$ позволяет включить граничные условия в уравнения задачи.

Такое продолжение функции распределения позволяет фактически рассматривать две задачи, одна из которых определена в "положительном" полупространстве $x>0$, вторая – в отрицательном "полупространстве" $x<0$.

Сформулируем зеркально – диффузные граничные условия для функции распределения соответственно для "положительного" и для "отрицательного" полупространств:

$$f(t,+0,\mathbf{v}) = qf_0(v)+(1-q)f(t,+0,-v_x,v_y,v_z), \quad v_x>0, \tag{1.4}$$

$$f(t,-0,\mathbf{v}) = qf_0(v)+(1-q)f(t,-0,-v_x,v_y,v_z), \quad v_x<0. \tag{1.5}$$

где q – коэффициент диффузности, $0\leqslant q\leqslant 1$.

В уравнениях (1.4) и (1.5) параметр q (коэффициент диффузности) – часть молекул, рассеивающихся границей диффузно, $1-q$ – часть молекул, рассеивающихся зеркально, т.е. уходящие от стенки молекулы имеют максвелловское распределение по скоростям.

Будем искать функцию распределения в виде

$$f=f_0(v)(1+C_yh(x_1,\mu)),$$

где x_1 – безразмерная координата,

$$\mu=C_x, \qquad x_1=\frac{x}{l}, \qquad \mathbf{C}=\frac{\mathbf{v}}{v_T}, \qquad v_T=\frac{1}{\sqrt{\beta}}, \qquad \beta=\frac{m}{2kT},$$

v_T – тепловая скорость молекул.

Введем градиент безразмерной массовой скорости газа $U(x_1)=\dfrac{u_y(x_1)}{v_T}$ (по безразмерной координате):

$$g_v=\Big(\frac{dU(x_1)}{dx_1}\Big)_{x_1=+\infty}.$$

Связь между градиентами G_v и g_v дается равенством:

$$g_v=\frac{1}{v_T}\Big(\frac{du_y(x_1)}{dx_1}\Big)_{x_1=+\infty}\frac{dx}{dx_1}=\frac{l}{v_T}G_v=\tau G_v.$$

Далее безразмерную координату x_1 снова будем обозначать через x. Согласно (1.3) мы имеем:

$$h(x,\mu)=h(-x,-\mu), \qquad \mu>0.$$

На функцию $h(x,\mu)$ получаем уравнение:

$$\mu\frac{\partial h}{\partial x}+h(x,\mu)=\frac{1}{\sqrt{\pi}}\int\limits_{-\infty}^{\infty}e^{-t^2}h(x,t)\,dt, \tag{1.6}$$

и следующие граничные условия:

$$h(+0,\mu)=(1-q)h(+0,-\mu)=(1-q)h(-0,\mu),\quad \mu>0,$$

$$h(-0,\mu)=(1-q)h(-0,-\mu)=(1-q)h(+0,\mu),\quad \mu<0.$$

Правая часть уравнения (1.6) есть удвоенная массовая скорость газа:

$$U(x)=\frac{1}{2\sqrt{\pi}}\int\limits_{-\infty}^{\infty}e^{-t^2}h(x,t)dt.$$

Представим функцию h в виде:

$$h(x,\mu)=h_{as}^{\pm}(x,\mu)+h_c(x,\mu),\quad \text{если}\quad \pm x>0,$$

где асимптотическая часть функции распределения (так называемая чепмен — энскоговская функция распределения)

$$h_{as}^{\pm}(x,\mu)=2V_{sl}(q)\pm 2g_v(x-\mu),\quad \text{если}\quad \pm x>0, \tag{1.7}$$

также является решением кинетического уравнения (1.6).

Здесь $V_{sl}(q)$ – есть искомая скорость изотермического скольжения (безразмерная).

Следовательно, функция $h_c(x,\mu)$ также удовлетворяет уравнению (1.6):

$$\mu\frac{\partial h_c}{\partial x}+h_c(x,\mu)=\frac{1}{\sqrt{\pi}}\int\limits_{-\infty}^{\infty}e^{-t^2}h_c(x,t)dt.$$

Так как вдали от стенки ($x\to\pm\infty$) функция распределения $h(x,\mu)$ переходит в чепмен — энскоговскую $h_{as}^{\pm}(x,\mu)$, то для функции $h_c(x,\mu)$, отвечающей непрерывному спектру, получаем следующее граничное условие: $h_c(\pm\infty,\mu)=0$.

Отсюда для массовой скорости газа получаем:

$$U_c(\pm\infty)=0. \tag{1.8}$$

Отметим, что в равенстве (1.7) знак градиента в "отрицательном" полупространстве меняется на противоположный. Поэтому условие (1.8) выполняется автоматически для функций $h_{as}^{\pm}(x,\mu)$.

Тогда граничные условия переходят в следующие:

$$h_c(+0,\mu)=$$

$$=-h_{as}^{+}(+0,\mu)+(1-q)h_{as}^{+}(+0,-\mu)+(1-q)h_c(+0,-\mu),\quad \mu>0,$$

$$h_c(-0,\mu)=$$

$$=-h_{as}^{-}(-0,\mu)+(1-q)h_{as}^{-}(-0,-\mu)(1-q)h_c(-0,-\mu),\quad \mu<0.$$

Обозначим

$$h_0^{\pm}(\mu) = -2qV_{sl}(q) + (2-q)2g_v|\mu|.$$

И перепишем предыдущие граничные условия в виде:

$$h_c(+0,\mu) = h_0^+(\mu) + (1-q)h_c(+0,-\mu), \quad \mu > 0,$$

$$h_c(-0,\mu) = h_0^-(\mu) + (1-q)h_c(-0,-\mu), \quad \mu < 0,$$

где

$$h_0^{\pm}(\mu) = -h_{as}^{\pm}(0,\mu) + (1-q)h_{as}^{\pm}(0,-\mu) =$$
$$= -2qV_{sl}(q) + (2-q)2g_v|\mu|.$$

Учитывая симметричное продолжение функции распределения, имеем

$$h_c(-0,-\mu) = h_c(+0,+\mu), \qquad h_c(+0,-\mu) = h_c(-0,+\mu).$$

Следовательно, граничные условия перепишутся в виде:

$$h_c(+0,\mu) = h_0^+(\mu) + (1-q)h_c(-0,\mu), \quad \mu > 0, \tag{1.9}$$

$$h_c(-0,\mu) = h_0^-(\mu) + (1-q)h_c(+0,\mu), \quad \mu < 0. \tag{1.10}$$

Включим граничные условия (1.9) и (1.10) в кинетическое уравнение следующим образом:

$$\mu\frac{\partial h_c}{\partial x} + h_c(x,\mu) = 2U_c(x) + |\mu|\Big[h_0^{\pm}(\mu) - qh_c(\mp 0,\mu)\Big]\delta(x), \tag{1.11}$$

где $U_c(x)$ – часть массовой скорости, отвечающая непрерывному спектру,

$$2U_c(x) = \frac{1}{\sqrt{\pi}}\int\limits_{-\infty}^{\infty} e^{-t^2}h_c(x,t)\,dt. \tag{1.12}$$

В самом деле, пусть, например, $\mu > 0$. Проинтегрируем обе части уравнения (1.11) по x от $-\varepsilon$ до $+\varepsilon$. В результате получаем равенство:

$$h_c(+\varepsilon,\mu) - h_c(-\varepsilon,\mu) = h_0^+(\mu) - qh_c(-\varepsilon,\mu),$$

откуда переходя к пределу при $\varepsilon \to 0$ в точности получаем граничное условие (1.9).

На основании определения массовой скорости (1.12) заключаем, что для нее выполняется условие (1.8): $U_c(+\infty) = 0$. Следовательно, в полупространстве $x > 0$ профиль массовой скорости газа вычисляется по формуле:

$$U(x) = U_{as}(x) + \frac{1}{2\sqrt{\pi}}\int\limits_{-\infty}^{\infty} e^{-t^2}h_c(x,t)dt, \tag{1.13}$$

а вдали от стенки имеет следующее линейное распределение:

$$U_{as}(x) = V_{sl}(q) + g_v x, \qquad x \to +\infty. \tag{1.14}$$

3 Кинетическое уравнение во втором и четвертом квадрантах фазового пространства

Решая уравнение (1.11) при $x > 0$, $\mu < 0$, считая заданным массовую скорость $U(x)$, получаем, удовлетворяя граничным условиям (1.10), следующее решение:

$$h_c^+(x,\mu) = -\frac{1}{\mu}\exp(-\frac{x}{\mu})\int\limits_x^{+\infty}\exp(+\frac{t}{\mu})2U_c(t)\,dt. \tag{2.1}$$

Аналогично при $x < 0$, $\mu > 0$ находим:

$$h_c^-(x,\mu) = \frac{1}{\mu}\exp(-\frac{x}{\mu})\int\limits_{-\infty}^{x}\exp(+\frac{t}{\mu})2U_c(t)\,dt. \tag{2.2}$$

Теперь уравнения (1.11) и (1.12) можно переписать, заменив второй член в квадратной скобке из (1.11) согласно (2.1) и (2.2), в виде:

$$\mu\frac{\partial h_c}{\partial x} + h_c(x,\mu) = 2U_c(x) + |\mu|\Big[h_0^{\pm}(\mu) - qh_c^{\mp}(0,\mu)\Big]\delta(x), \tag{2.3}$$

$$2U_c(x) = \frac{1}{\sqrt{\pi}}\int\limits_{-\infty}^{\infty}e^{-t^2}h_c(x,t)dt. \tag{2.4}$$

В равенствах (2.3) граничные значения $h_c^{\pm}(0,\mu)$ выражаются через составляющую массовой скорости, отвечающей непрерывному спектру:

$$h_c^{\pm}(0,\mu) = -\frac{1}{\mu}e^{-x/\mu}\int\limits_0^{\pm\infty}e^{t/\mu}2U_c(t)dt = h(\pm 0,\mu).$$

Решение уравнений (2.4) и (2.3) ищем в виде интегралов Фурье:

$$2U_c(x) = \frac{1}{2\pi}\int\limits_{-\infty}^{\infty}e^{ikx}E(k)\,dk, \qquad \delta(x) = \frac{1}{2\pi}\int\limits_{-\infty}^{\infty}e^{ikx}\,dk, \tag{2.5}$$

$$h_c(x,\mu) = \frac{1}{2\pi}\int\limits_{-\infty}^{\infty}e^{ikx}\Phi(k,\mu)\,dk. \tag{2.6}$$

При этом функция распределения $h_c^+(x,\mu)$ выражается через спектральную плотность $E(k)$ массовой скорости следующим образом:

$$h_c^+(x,\mu) = -\frac{1}{\mu}\exp(-\frac{x}{\mu})\int\limits_x^{+\infty}\exp(+\frac{t}{\mu})dt\frac{1}{2\pi}\int\limits_{-\infty}^{+\infty}e^{ikt}E(k,\mu)\,dk =$$

$$= \frac{1}{2\pi}\int\limits_{-\infty}^{\infty}\frac{e^{ikx}E(k,\mu)}{1+ik\mu}dk.$$

Аналогично,

$$h_c^-(x,\mu) = \frac{1}{2\pi}\int\limits_{-\infty}^{\infty}\frac{e^{ikx}E(k,\mu)}{1+ik\mu}dk.$$

Таким образом,

$$h_c^{\pm}(x,\mu) = \frac{1}{2\pi}\int\limits_{-\infty}^{\infty}\frac{e^{ikx}E(k,\mu)}{1+ik\mu}dk.$$

Используя четность функции $E(k)$ далее получаем:

$$h_c^{\pm}(0,\mu) = \frac{1}{2\pi}\int\limits_{-\infty}^{\infty}\frac{E(k,\mu)}{1+ik\mu}dk = \frac{1}{2\pi}\int\limits_{-\infty}^{\infty}\frac{E(k)\,dk}{1+k^2\mu^2} = \frac{1}{\pi}\int\limits_{0}^{\infty}\frac{E(k)\,dk}{1+k^2\mu^2}. \tag{2.7}$$

4 Характеристическая система

Теперь подставим интегралы Фурье (2.6) и (2.5), а также равенство (2.7) в уравнения (2.3) и (2.4). Получаем характеристическую систему уравнений:

$$\Phi(k,\mu)(1+ik\mu) =$$

$$= E(k) + |\mu|\Big[-2qV_{sl}(q) + 2(2-q)g_v|\mu| - \frac{q}{\pi}\int\limits_{0}^{\infty}\frac{E(k_1)dk_1}{1+k_1^2\mu^2}\Big], \tag{3.1}$$

$$E(k) = \frac{1}{\sqrt{\pi}}\int\limits_{-\infty}^{\infty}e^{-t^2}\Phi(k,t)dt. \tag{3.2}$$

Из уравнения (3.1) получаем:

$$\Phi(k,\mu) = \frac{E(k)}{1+ik\mu} + \frac{|\mu|}{1+ik\mu}\Big[-2qV_{sl}(q) + 2(2-q)g_v|\mu| - \frac{q}{\pi}\int\limits_{0}^{\infty}\frac{E(k_1)dk_1}{1+k_1^2\mu^2}\Big], \tag{3.3}$$

Подставим $\Phi(k,\mu)$, опреленное равенством (3.3), в (3.2). Получаем, что:

$$E(k)L(k) = -2qV_{sl}(q)T_1(k) + 2(2-q)g_vT_2(k) -$$

$$-\frac{q}{\pi^{3/2}}\int\limits_{0}^{\infty}E(k_1)dk_1\int\limits_{-\infty}^{\infty}\frac{e^{-t^2}|t|dt}{(1+ikt)(1+k_1^2t^2)}. \tag{3.4}$$

Здесь

$$T_n(k)=\frac{2}{\sqrt{\pi}}\int\limits_0^\infty\frac{e^{-t^2}t^n\,dt}{1+k^2t^2},\quad n=1,2,3,\cdots.$$

$$L(k)=1-\frac{1}{\sqrt{\pi}}\int\limits_{-\infty}^\infty\frac{e^{-t^2}dt}{1+ikt}.$$

Нетрудно видеть, что

$$L(k)=1-\frac{1}{\sqrt{\pi}}\int\limits_{-\infty}^\infty\frac{e^{-t^2}dt}{1+k^2t^2}=$$

$$=1-\frac{2}{\sqrt{\pi}}\int\limits_0^\infty\frac{e^{-t^2}dt}{1+k^2t^2}=k^2\frac{2}{\sqrt{\pi}}\int\limits_0^\infty\frac{e^{-t^2}t^2\,dt}{1+k^2t^2},$$

или, кратко,

$$L(k)=k^2T_2(k).$$

Кроме того, внутренний интеграл в (3.4) преобразуем и обозначим следующим образом:

$$\frac{1}{\sqrt{\pi}}\int\limits_{-\infty}^\infty\frac{e^{-t^2}|t|dt}{(1+ikt)(1+k_1^2t^2)}=\frac{2}{\sqrt{\pi}}\int\limits_0^\infty\frac{e^{-t^2}t\,dt}{(1+k^2t^2)(1+k_1^2t^2)}=J(k,k_1).$$

Заметим, что

$$J(k,0)=T_1(k),\qquad J(0,k_1)=T_1(k_1).$$

Перепишем теперь уравнение (3.4) с помощью предыдущего равенства в следующем виде:

$$E(k)L(k)=-2qV_{sl}(q)T_1(k)+2(2-q)g_vT_2(k)-\frac{q}{\pi}\int\limits_0^\infty J(k,k_1)E(k_1)\,dk_1. \tag{3.5}$$

Уравнение (3.5) есть интегральное уравнение Фредгольма второго рода.

5 Ряд Неймана

Считая градиент массовой скорости в уравнении (3.5) заданным, разложим решения характеристической системы (3.3) и (3.5) в ряд по степеням коэффициента диффузности q:

$$E(k)=g_v2(2-q)\Big[E_0(k)+q\,E_1(k)+q^2\,E_2(k)+\cdots\Big], \tag{4.1}$$

$$\Phi(k,\mu)=g_v 2(2-q)\Big[\Phi_0(k,\mu)+q\Phi_1(k,\mu)+q^2\Phi_2(k,\mu)+\cdots\Big]. \tag{4.2}$$

Скорость скольжения $V_{sl}(q)$ при этом будем искать в виде

$$V_{sl}(q)=g_v\dfrac{2-q}{q}\Big[V_0+V_1q+V_2q^2+\cdots+V_nq^n+\cdots\Big]. \tag{4.3}$$

Подставим ряды (4.1)–(4.3) в уравнения (3.3) и (3.5). Получаем следующую систему уравнений:

$$(1+ik\mu)[\Phi_0(k,\mu)+\Phi_1(k,\mu)q+\Phi_2(k,\mu)q^2+\cdots]=$$

$$=[E_0(k)+E_1(k)q+E_2(k)q^2+\cdots]-(V_0+V_1q+V_2q^2+\cdots)|\mu|+\mu^2-$$

$$-|\mu|\dfrac{q}{\pi}\int\limits_0^\infty\dfrac{E_0(k_1)+E_1(k_1)q+E_2(k_1)q^2+\cdots}{1+k_1^2\mu^2}dk_1,$$

$$[E_0(k)+E_1(k)q+E_2(k)q^2+\cdots]L(k)=-[V_0+V_1q+V_2q^2+\cdots]T_1(k)+T_2(k)-$$

$$-\dfrac{q}{\pi}\int\limits_0^\infty J(k,k_1)[E_0(k_1)+E_1(k_1)q+E_2(k_1)q^2+\cdots]dk_1.$$

Последние интегральные уравнения распадаются на эквивалентную бесконечную систему уравнений. В нулевом приближении получаем следующую систему уравнений:

$$E_0(k)L(k)=T_2(k)-V_0T_1(k), \tag{4.4}$$

$$\Phi_0(k,\mu)(1+ik\mu)=E_0(k)+\mu^2-V_0|\mu|, \tag{4.5}$$

В первом приближении:

$$E_1(k)L(k)=-V_1T_1(k)-\dfrac{1}{\pi}\int\limits_0^\infty J(k,k_1)E_0(k_1)dk_1, \tag{4.6}$$

$$\Phi_1(k,\mu)(1+ik\mu)=E_1(k)-V_1|\mu|-\dfrac{|\mu|}{\pi}\int\limits_0^\infty\dfrac{E_0(k_1)dk_1}{1+k_1^2\mu^2}. \tag{4.7}$$

Во втором приближении:

$$E_2(k)L(k)=-V_2T_1(k)-\dfrac{1}{\pi}\int\limits_0^\infty J(k,k_2)E_1(k_2)\,dk_2, \tag{4.8}$$

$$\Phi_2(k,\mu)(1+ik\mu)=E_2(k)-V_2|\mu|-\dfrac{|\mu|}{\pi}\int\limits_0^\infty\dfrac{E_1(k_2)dk_2}{1+k_2^2\mu^2}. \tag{4.9}$$

В n–м приближении получаем:

$$E_n(k)L(k)=-V_nT_1(k)-\frac{1}{\pi}\int\limits_0^\infty J(k,k_n)E_{n-1}(k_n)dk_n, \tag{4.10}$$

$$\Phi_n(k,\mu)(1+ik\mu)=E_n(k)-V_n|\mu|-$$

$$-\frac{|\mu|}{\pi}\int\limits_0^\infty \frac{E_{n-1}(k_n)dk_n}{1+k_n^2\mu^2}, \qquad n=1,2,3,\cdots. \tag{4.11}$$

5.1 Нулевое приближение

Из формулы (4.4) для нулевого приближения находим:

$$E_0(k)=\frac{T_2(k)-V_0T_1(k)}{L(k)}. \tag{4.12}$$

Нулевое приближение массовой скорости на основании (4.12) равно:

$$U_c^{(0)}(x)=g_v\frac{2-q}{2\pi}\int\limits_{-\infty}^{\infty} e^{ikx}E_0(k)\,dk=$$

$$=g_v\frac{2-q}{2\pi}\int\limits_{-\infty}^{\infty} e^{ikx}\frac{-V_0T_1(k)+T_2(k)}{L(k)}dk. \tag{4.13}$$

Согласно (4.13) наложим на нулевое приближение массовой скорости требование: $U_c(+\infty)=0$. Это условие приводит к тому, что подынтегральное выражение из интеграла Фурье (4.13) в точке $k=0$ конечно. Следовательно, мы должны устранить полюс второго порядка в точке $k=0$ у функции $E_0(k)$. Замечая, что

$$T_2(0)=\frac{1}{2}, \qquad T_1(0)=\frac{1}{\sqrt{\pi}},$$

находим нулевое приближение V_0:

$$V_0=\frac{T_2(0)}{T_1(0)}=\frac{\sqrt{\pi}}{2}\approx 0.886227.$$

Найдем числитель выражения (4.12):

$$T_2(k)-V_0T_1(k)=\frac{2}{\sqrt{\pi}}\int\limits_0^\infty\frac{e^{-t^2}t^2\,dt}{1+k^2t^2}-\int\limits_0^\infty\frac{e^{-t^2}t\,dt}{1+k^2t^2}=$$

$$=-\int\limits_0^\infty\Big(1-\frac{2t}{\sqrt{\pi}}\Big)\frac{e^{-t^2}tdt}{1+k^2t^2}=-\int\limits_0^\infty\frac{e^{-t^2}t(1+k^2t^2-k^2t^2)}{1+k^2t^2}\Big(1-\frac{2t}{\sqrt{\pi}}\Big)dt=$$

$$= k^2 \int\limits_0^\infty \frac{e^{-t^2}t^3}{1+k^2t^2}\Big(1-\frac{2t}{\sqrt{\pi}}\Big)\,dt = k^2\Big[\frac{\sqrt{\pi}}{2}T_3(k)-T_4(k)\Big].$$

Таким образом,

$$T_2(k)-V_0T_1(k)=T_2(k)-\frac{\sqrt{\pi}}{2}T_1(k)=k^2\varphi_0(k),$$

где

$$\varphi_0(k)=\int\limits_0^\infty\Big(1-\frac{2t}{\sqrt{\pi}}\Big)\frac{e^{-t^2}t^3dt}{1+k^2t^2}=\frac{\sqrt{\pi}}{2}T_3(k)-T_4(k).$$

Согласно (4.12) имеем:

$$E_0(k)=\frac{\varphi_0(k)}{T_2(k)}.$$

Согласно (4.5) находим:

$$\Phi_0(k,\mu)=\frac{E_0(k)+\mu^2-V_0|\mu|}{1+ik\mu},$$

и, следовательно,

$$h_c^{(0)}(x,\mu)=\frac{1}{2\pi}\int\limits_{-\infty}^{\infty}\Big[E_0(k)+\mu^2-V_0|\mu|\Big]\frac{e^{ikx}dk}{1+ik\mu}.$$

5.2 Первое приближение

Перейдем к первому приближению. В первом приближении из уравнения (4.6) находим:

$$E_1(k)=-\frac{1}{L(k)}\Big[V_1T_1(k)+\frac{1}{\pi}\int\limits_0^\infty\frac{J(k,k_1)}{T_2(k_1)}\varphi_0(k_1)dk_1\Big]. \qquad (4.14)$$

Первая поправка к массовой скорости имеет вид

$$U_c^{(1)}(x)=g_v\frac{2-q}{2\pi}\int\limits_{-\infty}^{\infty}e^{ikx}E_1(k)\,dk.$$

Требование $U_c(+\infty)=0$ приводит к требованию конечности подынтегрального выражения в предыдущем интеграле Фурье. Устраняя полюс второго порядка в точке $k=0$, находим:

$$V_1=-\frac{1}{\sqrt{\pi}}\int\limits_0^\infty J(0,k_1)\frac{\varphi_0(k_1)}{T_2(k_1)}dk_1=$$

$$= -\frac{1}{\sqrt{\pi}}\int\limits_0^\infty \frac{T_1(k_1)}{T_2(k_1)}\varphi_0(k_1)\,dk_1 \approx 0.140523. \qquad (4.15)$$

Преобразуем с помощью (4.15) выражение в квадратной скобке из выражения (4.14):

$$V_1T_1(k) + \frac{1}{\sqrt{\pi}}\int\limits_0^\infty J(k,k_1)\frac{\varphi_0(k_1)}{T_2(k_1)}dk_1 =$$

$$= \frac{1}{\pi}\int\limits_0^\infty J(k,k_1)\frac{\varphi_0(k_1)}{T_2(k_1)}dk_1 - T_1(k)\frac{1}{\sqrt{\pi}}\int\limits_0^\infty J(0,k_1)\frac{\varphi_0(k_1)}{T_2(k_1)}dk_1 =$$

$$= \frac{1}{\pi}\int\limits_0^\infty \Big[J(k,k_1) - \sqrt{\pi}J(k,0)J(0,k_1)\Big]E_0(k_1)dk_1. \qquad (4.16)$$

Заметим, что $J(0,k_1) = T_1(k_1)$. Найдем выражение

$$J(k,k_1) - \sqrt{\pi}J(k,0)J(0,k_1).$$

Рассмотрим разложение на элементарные дроби:

$$\frac{1}{(1+k^2t^2)(1+k_1^2t^2)} = \frac{[(1+k_1^2t^2)-k_1^2t^2][(1+k^2t^2)-k^2t^2]}{(1+k^2t^2)(1+k_1^2t^2)} =$$

$$= 1 - \frac{k_1^2t^2}{1+k_1^2t^2} - \frac{k^2t^2}{1+k^2t^2} + \frac{k^2k_1^2\,t^4}{(1+k^2t^2)(1+k_1^2t^2)}$$

С помощью этого разложения преобразуем интеграл

$$J(k,k_1) = \frac{2}{\sqrt{\pi}}\int\limits_0^\infty \frac{e^{-t^2}t\,dt}{(1+k^2t^2)(1+k_1^2t^2)}.$$

Получаем следующее представление этого интеграла:

$$J(k,k_1) = \frac{1}{\sqrt{\pi}} - k_1^2\frac{2}{\sqrt{\pi}}\int\limits_0^\infty \frac{e^{-t^2}t^3dt}{1+k_1^2t^2} - k^2\frac{2}{\sqrt{\pi}}\int\limits_0^\infty \frac{e^{-t^2}t^3dt}{1+k^2t^2} +$$

$$+ k^2k_1^2\frac{2}{\sqrt{\pi}}\int\limits_0^\infty \frac{e^{-t^2}t^5dt}{(1+k^2t^2)(1+k_1^2t^2)},$$

или

$$J(k,k_1) = \frac{1}{\sqrt{\pi}} - k^2J_3(0,k_1) - k_1^2J_3(k,0) + k^2k_1^2J_5(k,k_1),$$

где

$$J_n(k,k_1) = 2\int\limits_0^\infty \frac{e^{-t^2}t^ndt}{(1+k^2t^2)(1+k_1^2t^2)}, \qquad n = 3,5.$$

Вернемся к выражению

$$J(k,k_1)-\sqrt{\pi}J(k,0)J(0,k_1).$$

Сначала заметим, что

$$J(k,0)=\frac{2}{\sqrt{\pi}}\int\limits_0^\infty e^{-t^2}t\frac{1+k^2t^2-k^2t^2}{1+k^2t^2}dt=\frac{1}{\sqrt{\pi}}-k^2J_3(k,0),$$

$$J(0,k_1)=\frac{1}{\sqrt{\pi}}-k_1^2J_3(0,k_1).$$

Теперь ясно, что

$$J(k,k_1)-\sqrt{\pi}J(k,0)J(0,k_1)=$$
$$=\frac{1}{\sqrt{\pi}}-k^2J_3(0,k_1)-k_1^2J_3(k,0)+k^2k_1^2J_5(k,k_1)-$$
$$-\sqrt{\pi}\Big[\frac{1}{\sqrt{\pi}}-k^2J_3(k,0)\Big]\Big[\frac{1}{\sqrt{\pi}}-k_1^2J_3(0,k_1)\Big],$$

или

$$J(k,k_1)-\sqrt{\pi}J(k,0)J(0,k_1)=k^2k_1^2\Big[J_5(k,k_1)-J_3(k,0)J_3(0,k_1)\Big].$$

Представим это выражение в виде

$$J(k,k_1)-\sqrt{\pi}J(k,0)J(0,k_1)=k^2S(k,k_1),$$

где

$$S(k,k_1)=k_1^2\Big[J_5(k,k_1)-T_3(k)T_3(k_1)\Big].$$

Вернемся к выражению (4.14). С помощью (4.16) теперь получаем:

$$E_1(k_1)=-\frac{1}{\pi T_2(k_1)}\int\limits_0^\infty \frac{S(k_1,k_2)}{T_2(k_2)}\varphi_0(k_2)\,dk_2, \tag{4.17}$$

или, кратко,

$$E_1(k_1)=\frac{\varphi_1(k_1)}{T_2(k_1)},$$

где

$$\varphi_1(k_1)=-\frac{1}{\pi}\int\limits_0^\infty \frac{S(k_1,k_2)}{T_2(k_2)}\varphi_0(k_2)\,dk_2,$$

или

$$\varphi_1(k_1)=-\frac{1}{\pi}\int\limits_0^\infty S(k_1,k_2)E_0(k_2)\,dk_2.$$

Теперь подставляя (4.17) в (4.7) находим первое приближение спектральной плотности функции распределения:

$$\Phi_1(k,\mu)=\frac{1}{1+ik\mu}\Big[E_1(k)-V_1|\mu|-\frac{|\mu|}{\pi}\int\limits_0^\infty\frac{E_0(k_1)\,dk_1}{1+k_1^2\mu^2}\Big].$$

5.3 Второе приближение

Перейдем ко второму приближению задачи – уравнения (4.8) и (4.9). Из уравнения (4.8) находим:

$$E_2(k) = -\frac{1}{L(k)}\Big[V_2 T_1(k) + \frac{1}{\pi}\int\limits_0^\infty J(k,k_1)E_1(k_1)\,dk_1\Big]. \tag{4.18}$$

Вторая поправка к массовой скорости имеет вид:

$$U_c^{(2)}(x) = g_v \frac{2-q}{2\pi}\int\limits_{-\infty}^{\infty} e^{ikx}E_2(k)\,dk.$$

Условие $U_c(+\infty) = 0$ приводит к требованию ограниченности функции $E_2(k)$ в точке $k=0$. Устраняя полюс второго порядка в точке $k=0$ в правой части равенства для $E_2(k)$, находим:

$$V_2 = -\frac{1}{\sqrt{\pi}}\int\limits_0^\infty J(0,k_1)E_1(k_1)dk_1 =$$

$$= -\frac{1}{\sqrt{\pi}}\int\limits_0^\infty T_1(k_1)E_1(k_1)dk_1 \approx -0.011556. \tag{4.19}$$

Формулу (4.19) преобразуем к следующему виду:

$$V_2 = \frac{1}{\pi^{3/2}}\int\limits_0^\infty\int\limits_0^\infty \frac{T_1(k_1)S(k_1,k_2)}{T_2(k_1)T_2(k_2)}\varphi_0(k_2)\,dk_1dk_2.$$

Преобразуем выражение (4.18) с помощью равенства (4.19). Имеем:

$$E_2(k) = -\frac{1}{\pi L(k)}\int\limits_0^\infty \Big[J(k,k_1) - \sqrt{\pi}J(k,0)J(0,k_1)\Big]E_1(k_1)\,dk_1.$$

Выше было показано, что

$$J(k,k_1) - \sqrt{\pi}J(k,0)J(0,k_1) = k^2 S(k,k_1).$$

Следовательно, предыдущее равенство дает:

$$E_2(k) = -\frac{1}{\pi T_2(k)}\int\limits_0^\infty S(k,k_1)E_1(k_1)\,dk_1 =$$

$$= \frac{1}{\pi^2 T_2(k)}\int\limits_0^\infty\int\limits_0^\infty \frac{S(k,k_1)S(k_1,k_2)}{T_2(k_1)T_2(k_2)}\varphi_0(k_2)dk_1dk_2.$$

Перепишем это равенство в виде:

$$E_2(k)=\frac{\varphi_2(k)}{T_2(k)},$$

где

$$\varphi_2(k)=-\frac{1}{\pi}\int\limits_0^\infty S(k,k_1)E_1(k_1)dk_1=$$

$$=\frac{1}{\pi^2}\int\limits_0^\infty\int\limits_0^\infty \frac{S(k,k_1)S(k_1,k_2)}{T_2(k_1)T_2(k_2)}\varphi_0(k_2)dk_1dk_2.$$

Для второго приближения спектральной плотности функции распределения из уравнения (4.9) получаем:

$$\Phi_2(k,\mu)=\frac{1}{1+ik\mu}\Bigg[E_2(k)-V_2|\mu|--\frac{|\mu|}{\pi}\int\limits_0^\infty \frac{E_1(k_1)dk_1}{1+k_1^2\mu^2}\Bigg].$$

5.4 Высшие приближения

В третьем приближении получаем:

$$E_3(k)=-\frac{1}{L(k)}\Big[V_3T_1(k)+\frac{1}{\pi}\int\limits_0^\infty J(k,k_1)E_2(k_1)dk_1\Big].$$

Как и ранее, устраняя полюс второго порядка в точке $k=0$, получаем:

$$V_3=-\frac{1}{\sqrt{\pi}}\int\limits_0^\infty J(0,k_1)E_2(k_1)dk_1=-\frac{1}{\sqrt{\pi}}\int\limits_0^\infty T_1(k_1)E_2(k_1)dk_1,$$

или

$$V_3=-\frac{1}{\sqrt{\pi}}\int\limits_0^\infty \frac{T_1(k_1)}{T_2(k_1)}\varphi_2(k_1)\,dk_1=0.001092.$$

Кроме того, в третьем приближении мы получаем:

$$E_3(k)=-\frac{1}{\pi L(k)}\int\limits_0^\infty \Big[J(k,k_1)-\sqrt{\pi}T_1(k)T_1(k_1)\Big]E_2(k_1)dk_1,=$$

$$=-\frac{1}{\pi T_2(k)}\int\limits_0^\infty S(k,k_1)E_2(k_1)dk_1,$$

или

$$E_3(k)=\frac{\varphi_3(k)}{T_2(k)},$$

где

$$\varphi_3(k)=-\frac{1}{\pi}\int\limits_0^\infty S(k,k_1)E_2(k_1)dk_1=$$

$$=-\frac{1}{\pi^3}\int\limits_0^\infty\int\limits_0^\infty\int\limits_0^\infty \frac{S(k,k_1)S(k_1,k_2)S(k_2,k_3)}{T_2(k_1)T_2(k_2)T_2(k_3)}\varphi_0(k_3)dk_1dk_2dk_3,$$

и

$$V_3=-\frac{1}{\pi^{5/2}}\int\limits_0^\infty\int\limits_0^\infty\int\limits_0^\infty \frac{T_1(k_1)S(k_1,k_2)S(k_2,k_3)}{T_2(k_1)T_2(k_2)T_3(k_3)}\varphi_0(k_3)dk_1dk_2dk_3.$$

Проводя аналогичные рассуждения, для n–го приближения согласно (4.10) и (4.11) получаем:

$$V_n=-\frac{1}{\sqrt{\pi}}\int\limits_0^\infty T_1(k)E_{n-1}(k)\,dk,\qquad n=1,2,\cdots$$

$$E_n(k)=-\frac{1}{\pi T_2(k)}\int\limits_0^\infty S(k,k_1)E_{n-1}(k_1)dk_1,\qquad n=1,2,\cdots,$$

или

$$E_n(k)=\frac{\varphi_n(k)}{T_2(k)},\qquad n=0,1,2,\cdots,$$

где

$$\varphi_n(k)=-\frac{1}{\pi}\int\limits_0^\infty S(k,k_1)E_{n-1}(k_1)dk_1,\qquad n=1,2,\cdots,$$

$$\Phi_n(k,\mu)=\frac{1}{1+ik\mu}\left[E_n(k)-V_n|\mu|-\frac{|\mu|}{\pi^{(n+1)/2}}\int\limits_0^\infty\frac{E_{n-1}(k_1)dk_1}{1+k_1^2\mu^2}\right].$$

Выпишем n–ые приближения V_n, $E_n(k)$ и $\varphi_n(k)$, выраженные через нулевое приближение спектральной плотности массовой скорости $E_0(k)=\varphi_0(k)/T_2(k)$. Имеем:

$$V_n=\frac{(-1)^n}{\pi^{n-1/2}}\int\limits_0^\infty\cdots\int\limits_0^\infty\frac{T_1(k_1)S(k_1,k_2)\cdots S(k_{n-1},k_n)}{T_2(k_1)\cdots T_2(k_n)}\times$$
$$\times\varphi_0(k_n)\,dk_1\cdots dk_n,$$

$$E_n(k)=\frac{(-1)^n}{\pi^nT_2(k)}\int\limits_0^\infty\cdots\int\limits_0^\infty\frac{S(k,k_1)S(k_1,k_2)\cdots S(k_{n-1},k_n)}{T_2(k_1)\cdots T_2(k_n)}\times$$
$$\times\varphi_0(k_n)dk_1\cdots dk_n,\qquad n=1,2,3,\cdots,$$

$$\varphi_n(k)=\frac{(-1)^n}{\pi^n}\int\limits_0^\infty\cdots\int\limits_0^\infty\frac{S(k,k_1)S(k_1,k_2)\cdots S(k_{n-1},k_n)}{T_2(k_1)\cdots T_2(k_n)}\times$$
$$\times\varphi_0(k_n)dk_1\cdots dk_n,\qquad n=1,2,\cdots.$$

5.5 Сравнение с точным решением

Сравним нулевое, первое, второе и третье приближения при $q = 1$ с точным решением. Точное значение скорости скольжения в случае диффузного рассеяния таково:

$$V_{sl}(1) = 1.016191 g_v.$$

Скорость скольжения в третьем приближении равна:

$$V_{sl}(q) = g_v \frac{2-q}{q}\Big[V_0 + V_1 q + V_2 q^2 + V_3 q^3\Big],$$

или, согласно приведенным выше результатам:

$$V_{sl}(q) = g_v \frac{2-q}{q}\Big[0.886227 + 0.140523q - 0.011556q^2 + 0.001092q^3\Big].$$

Нетрудно проверить, что в нулевом (максвелловском) приближении

$$V_0^{sl}(1) = 0.886227 g_v,$$

т.е. нулевое приближение дает ошибку 12.8%.

В первом приближении получаем

$$V_1^{sl}(1) = 1.02675 g_v,$$

значит, первое приближение дает ошибку 1.04%.

Во втором приближении

$$V_2^{sl}(1) = 1.015194 g_v,$$

т.е. второе приближение дает ошибку -0.098%.

В третьем приближении

$$V_3^{sl}(1) = 1.016287 g_v.$$

Значит, третье приближение приводит к ошибке 0.009%.

Приведенное сравнение последовтельных приближений с точным результатом свидетельствует о высокой эффективности предлагаемого метода.

5.6 Профиль скорости газа в полупространстве и ее значение у стенки

Массовую скорость, отвечающую непрерывному спектру, разложим по степеням коэффициента диффузности:

$$U_c(x) = U_c^{(0)}(x) + qU_c^{(1)}(x) + q^2 U_c^{(2)}(x) + \cdots . \tag{4.20}$$

Тогда профиль массовой скорости в полупространстве можно строить по формуле:

$$U(x) = V_{sl}(q) + g_v x + U_c(x), \tag{4.21}$$

где $U_c(x)$ определяется предыдущим равенством (4.20).

Коэффициенты ряда (4.20) вычислим согласно выведенным выше формулам:

$$U_c^{(n)}(x) = g_v \frac{2-q}{2\pi} \int\limits_{-\infty}^{\infty} e^{ikx} E_n(k) dk, \qquad n = 0, 1, 2, \cdots .$$

Вычислим скорость газа непосредственно у стенки:

$$U(0) = V_{sl}(q) + U_c^{(0)}(0) + qU_c^{(1)}(0) + q^2 U_c^{(2)}(0) + \cdots . \tag{4.22}$$

В случае чисто диффузного отражения молекул от стенки ($q = 1$) согласно (4.22) мы имеем

$$U(0) = V_{sl}(1) + U_c^{(0)}(0) + U_c^{(1)}(0) + U_c^{(2)}(0) + \cdots .$$

Отсюда в нулевом приближении получаем:

$$U^{(0)} = V_{sl}(1) + U_c^{(0)}(0) = 0.674744 g_v,$$

в первом приближении получаем:

$$U^{(1)}(0) = V_{sl}(1) + U_c^{(0)}(0) + U_c^{(1)}(0) = 0.710319 g_v,$$

во втором приближении получаем:

$$U^{(2)}(0) = V_{sl}(1) + U_c^{(0)}(0) + U_c^{(1)}(0) + U_c^{(2)}(0) = 0.706802.$$

Сравним эти результаты с точным значение скорости у стенки [2]

$$U(0) = \frac{1}{\sqrt{2}} g_v = 0.707107 g_v.$$

Введем относительную ошибку

$$O_n = \frac{U(0) - U^{(n)}(0)}{U(0)} \cdot 100\%, \qquad n = 0, 1, 2, \cdots .$$

В нулевом приближении относительная ошибка равна 4.6%, в первом приближении равна −0.45%, во втором приближении равна: 0.044%.

Профили распределения массовой скорости в полупространстве построим (см. рис. 1–3), используя формулу (4.21).

6 Обратная задача Крамерса

В прямой задаче Крамерса вдали от стенки задается градиент массовой скорости газа, а скорость скольжения газа является искомой. В обратной задаче Крамерса будем считать, что задана скорость скольжения массового газа у стенки, а требуется найти величину градиента массовой скорости газа вдали от стенки.

Таким образом, будем теперь считать, что в задаче о тепловом скольжении задана постоянная скорость скольжения V_{sl} у стенки, а неизвестной величиной является градиент массовой скорости g_v вдали от стенки, как функция коэффициента диффузности q.

Решение характеристического уравнения

$$E(k)L(k)=$$

$$=-2qV_{sl}T_1(k)+2g_v(2-q)T_2(k)-\frac{q}{\pi}\int\limits_0^\infty J(k,k_1)E(k_1)\,dk_1 \tag{5.1}$$

ищем в следующем виде:

$$g_v(q)=V_{sl}\frac{q}{2-q}\Big[W_0+W_1q+W_2q^2+\cdots\Big], \tag{5.2}$$

$$E(k)=2V_{sl}q\Big[E_0(k)+E_1(k)q+E_2(k)q^2+\cdots\Big]. \tag{5.3}$$

Подставим (5.2) и (5.3) в (5.1). Получаем, что

$$\Big[E_0(k)+E_1(k)q+E_2(k)q^2+\cdots\Big]L(k)=\Big[W_0+W_1q+W_2q^2+\cdots\Big]T_2(k)-$$

$$-T_1(k)-\frac{q}{\pi}\int\limits_0^\infty J(k,k_1)\Big[E_0(k_1)+E_1(k_1)q+E_2(k_1)q^2+\cdots\Big]dk_1.$$

Отсюда получаем бесконечную систему уравнений:

$$E_0(k)L(k)=-T_1(k)+W_0T_2(k), \tag{5.4}$$

$$E_1(k)L(k)=W_1T_2(k)-\frac{1}{\pi}\int\limits_0^\infty J(k,k_1)E_0(k_1)\,dk_1, \tag{5.5}$$

$$E_2(k)L(k)=W_2T_2(k)-\frac{1}{\pi}\int\limits_0^\infty J(k,k_1)E_1(k_1)\,dk_1,\cdots, \tag{5.6}$$

$$E_n(k)L(k)=W_nT_2(k)-\frac{1}{\pi}\int\limits_0^\infty J(k,k_1)E_{n-1}(k_1)\,dk_1,\cdots.$$

В нулевом приближении из уравнения (5.4) получаем:

$$E_0(k)=\frac{1}{L(k)}\Big[-T_1(k)+W_0T_2(k)\Big].$$

Из условия конечности $E_0(k)$ в нуле отсюда находим:

$$W_0=\frac{T_1(0)}{T_2(0)}=\frac{2}{\sqrt{\pi}}=1.128379.$$

Следовательно,

$$E_0(k)=\frac{-T_1(k)+\frac{2}{\sqrt{\pi}}T_2(k)}{L(k)}=$$

$$=\frac{1}{L(k)}\Big[-\frac{2}{\sqrt{\pi}}\int\limits_0^\infty\frac{e^{-t^2}tdt}{1+k^2t^2}+\frac{4}{\pi}\int\limits_0^\infty\frac{e^{-t^2}t^2dt}{1+k^2t^2}\Big]=$$

$$=\frac{k^2}{L(k)}\Big[T_3(k)-\frac{2}{\sqrt{\pi}}T_4(k)\Big]=\frac{T_3(k)-\dfrac{2}{\sqrt{\pi}}T_4(k)}{T_2(k)}.$$

Таким образом,

$$E_0(k)=\frac{\varphi_0(k)}{T_2(k)},\quad \text{где}\quad \varphi_0(k)=T_3(k)-\frac{2}{\sqrt{\pi}}T_4(k).$$

Рассмотрим первое приближение. Возьмем интегральное уравнение (5.5)

$$E_1(k)L(k)=W_1T_2(k)-\frac{1}{\pi}\int\limits_0^\infty J(k,k_1)E_0(k_1)dk_1.$$

Рассуждая, как и в нулевом приближении, находим:

$$W_1=\frac{2}{\pi}\int\limits_0^\infty J(0,k_1)E_0(k_1)dk_1,$$

или

$$W_1=\frac{2}{\pi}\int\limits_0^\infty T_1(k_1)E_0(k_1)dk_1=\frac{2}{\pi}\int\limits_0^\infty T_1(k_1)\frac{\varphi_0(k_1)}{T_2(k_1)}dk_1=-0.178919.$$

Далее будем находить правую часть равенства (5.5). Получаем, что

$$E_1(k)L(k)=\frac{1}{\pi^{3/2}}\int\limits_0^\infty E_0(k_1)\Big[-J(k,k_1)+2\sqrt{\pi}T_1(k_1)T_2(k)\Big]dk_1. \qquad (5.7)$$

Обозначим теперь

$$T(k,k_1)=2T_1(k_1)T_2(k)-J(k,k_1) \qquad (5.8)$$

и найдем эту раность. Заметим, что

$$T_2(k) = \frac{1}{2} - k^2 T_4(k). \tag{5.9}$$

Рассмотрим тождество

$$\frac{1}{(1+k^2t^2)(1+k_1^2t^2)} = \frac{k_1^2-k^2}{(k_1^2-k^2)(1+k^2t^2)(1+k_1^2t^2)} =$$

$$= \frac{k_1^2(1+k^2t^2) - k^2(1+k_1^2t^2)}{(k_1^2-k^2)(1+k^2t^2)(1+k_1^2t^2)} =$$

$$= \frac{k_1^2}{k_1^2-k^2}\frac{1}{1+k_1^2t^2} - \frac{k^2}{k_1^2-k^2}\frac{1}{1+k^2t^2}.$$

Подставляя это разложение в выражение для подынтегральной функции в выражении для $J(k,k_1)$, находим:

$$J(k,k_1) = -\frac{k^2}{k_1^2-k^2}T_1(k) + \frac{k_1^2}{k_1^2-k^2}T_1(k_1). \tag{5.10}$$

Подставим (5.10) и (5.9) в (5.8). Получаем, что

$$T(k,k_1) = T_1(k_1) - 2k^2T_1(k_1)T_4(k) - \frac{k_1^2T_1(k_1)}{k_1^2-k^2} + \frac{k^2T_1(k)}{k_1^2-k^2} =$$

$$= T_1(k_1)\Big[1 - \frac{k_1^2}{k_1^2-k^2}\Big] + k^2\Big[-2T_1(k_1) + \frac{T_1(k)}{k_1^2-k^2}\Big] =$$

$$= -k^2\frac{T_1(k_1)}{k_1^2-k^2} + k^2\Big[-2T_1(k_1) + \frac{T_1(k)}{k_1^2-k^2}\Big] =$$

$$= -2k^2T_1(k_1)T_4(k) + \frac{k^2}{k_1^2-k^2}\Big[T_1(k) - T_1(k_1)\Big]. \tag{5.11}$$

Заметим, что

$$T_1(k) - T_1(k_1) = (k_1^2-k^2)\frac{2}{\sqrt{\pi}}\int\limits_0^\infty \frac{e^{-t^2}t^3dt}{(1+k^2t^2)(1+k_1^2t^2)}.$$

или

$$T_1(k) - T_1(k_1) = (k_1^2-k^2)J_3(k,k_1), \tag{5.12}$$

где

$$J_3(k,k_1) = \frac{2}{\sqrt{\pi}}\int\limits_0^\infty \frac{e^{-t^2}t^3dt}{(1+k^2t^2)(1+k_1^2t^2)}.$$

Подставляя (5.12) в (5.11), находим:

$$T(k,k_1) = k^2\Big[J_3(k,k_1) - 2T_1(k_1)T_4(k)\Big],$$

или

$$T(k,k_1)=k^2S(k,k_1), \tag{5.13}$$

где

$$S(k,k_1)=J_3(k,k_1)-2T_1(k_1)T_4(k).$$

Подставляя (5.13) в (5.7), найдем, что

$$E_1(k)=\frac{1}{\pi T_2(k)}\int\limits_0^\infty S(k,k_1)E_0(k_1)dk_1=$$

$$=\frac{1}{\pi T_2(k)}\int\limits_0^\infty S(k,k_1)\frac{\varphi_0(k_1)}{T_2(k_1)}dk_1. \tag{5.14}$$

Перейдем ко второму приближению. Из уравнения (5.7) находим:

$$E_2(k)=\frac{1}{L(k)}\Big[W_2T_2(k)-\frac{1}{\pi}\int\limits_0^\infty J(k,k_1)E_1(k_1)dk_1\Big]. \tag{5.15}$$

Подставим (5.14) в (5.15):

$$E_2(k)=\frac{1}{L(k)}\Big[W_2T_2(k)-\frac{1}{\pi^2}\int\limits_0^\infty\int\limits_0^\infty\frac{J(k,k_1)S(k_1,k_2)}{T_2(k_1)T_2(k_2)}\varphi_0(k_2)dk_1dk_2\Big].$$

Отсюда находим:

$$W_2=\frac{2}{\pi^2}\int\limits_0^\infty\int\limits_0^\infty\frac{T_1(k_1)S(k_1,k_2)}{T_2(k_1)T_2(k_2)}\varphi_0(k_2)dk_1dk_2=0.043083.$$

Построим $E_2(k)$. Для этого подставим предыдущее равенство в равенство (5.15). Получаем, что

$$E_2(k)=\frac{1}{L(k)}\left[\frac{1}{\pi^2}\int\limits_0^\infty\int\limits_0^\infty\frac{2T_1(k_1)T_2(k)-J(k,k_1)}{T_2(k_1)T_2(k_2)}S(k_1,k_2)\varphi_0(k_2)dk_1dk_2\right].$$

Учитывая равенства (5.8) и (5.13), отсюда получаем:

$$E_2(k)=\frac{1}{\pi^2T_2(k)}\int\limits_0^\infty\int\limits_0^\infty\frac{S(k,k_1)S(k_1,k_2)}{T_2(k_1)T_2(k_2)}\varphi_0(k_2)dk_1dk_2.$$

Перейдем к третьему приближению. Находим:

$$E_3(k)=\frac{1}{L(k)}\Big[W_3T_2(k)-\frac{1}{\pi}\int\limits_0^\infty J(k,k_1)E_2(k_1)dk_1\Big].$$

Отсюда находим:

$$W_3 = \frac{2}{\pi}\int\limits_0^\infty J(0,k_1)E_2(k_1)dk_1 =$$

$$= \frac{2}{\pi^3}\int\limits_0^\infty\int\limits_0^\infty\int\limits_0^\infty \frac{T_1(k_1)S(k_1,k_2)S(k_2,k_3)}{T_2(k_1)T_2(k_2)T_3(k_3)}\varphi_0(k_3)dk_1dk_2dk_3 = -0.010556.$$

Для функции $E_3(k)$ получаем:

$$E_3(k) = \frac{1}{\pi^3 T_2(k)}\int\limits_0^\infty\int\limits_0^\infty\int\limits_0^\infty \frac{S(k,k_1)S(k_1,k_2)S(k_2,k_3)}{T_2(k_1)T_2(k_2)T_3(k_3)}\varphi_0(k_3)dk_1dk_2dk_3.$$

В случае n–го приближения получаем:

$$W_n = \frac{2}{\pi}\int\limits_0^\infty J(0,k_1)E_{n-1}(k_1)dk_1 =$$

$$= \frac{2}{\pi^n}\int\limits_0^\infty\cdots\int\limits_0^\infty \frac{T_1(k_1)S(k_1,k_2)\cdots S(k_{n-1},k_n)}{T_2(k_1)\cdots T_2(k_n)}\times$$

$$\times\varphi_0(k_n)dk_1\cdots dk_n,$$

$$E_n(k) = \frac{1}{\pi^n T_2(k)}\int\limits_0^\infty\cdots\int\limits_0^\infty \frac{S(k,k_1)S(k_1,k_2)\cdots S(k_{n-1},k_n)}{T_2(k_1)\cdots T_2(k_n)}\times$$

$$\times\varphi_0(k_n)dk_1\cdots dk_n.$$

Рассмотрим случай диффузного отражения молекул от стенки. Сравним полученное решение с точным. При точном решении $V_{sl} = 1.016192 g_v$, откуда $g_v = 0.984066 V_{sl}$. Выше найдено, что

$$g_v = V_{sl}\frac{q}{2-q}\Big[W_0 + W_1 q + W_2 q^2 + \cdots\Big] = C(q)V_{sl},$$

где

$$C(q) = \frac{q}{2-q}\Big[W_0 + W_1 q + W_2 q^2 + \cdots\Big].$$

Обозначим:

$$C_n(q) = \frac{q}{2-q}\Big[W_0 + W_1 q + W_2 q^2 + \cdots + W_n q^n\Big].$$

В нулевом приближении $C_0(1) = W_0$. Относительная ошибка составляет:

$$O_n(1) = \frac{C_n(1) - C(1)}{C(1)}\cdot 100\%.$$

Отсюда $O_0(1) = 14.7\%$. В первом приближении

$$C_1(1) = W_0 + W_1 = 0.949460,$$

ошибка составляет: $O_1(1) = 3.5\%$.

Во втором приближении

$$C_2(1) = W_0 + W_1 + W_2 = 0.992543,$$

ошибка составляет $O_2(1) = -0.86\%$.

В третьем приближении имеем:

$$C_3(1) = 0.981987,$$

ошибка составляет $O_3(1) = 0.21\%$.

7 Заключение

В настоящей работе развивается новый метод решения полупространственных граничных задач кинетической теории с зеркально – диффузными граничными условиями. В основе метода лежит идея продолжить функцию распределения в сопряженное полупространство $x < 0$ и включить в кинетическое уравнение граничное условие в виде члена типа источника на функцию распределения, отвечающую непрерывному спектру. С помощью преобразования Фурье кинетическое уравнение сводим к характеристическому интегральному уравнению Фредгольма второго рода, которое решаем методом последовательных приближений. Для этого разлагаем в ряды по степеням коэффициента диффузности скорость скольжения газа, его функцию распределения и массовую скорость, отвечающие непрерывному спектру. Подставляя эти разложения в характеристическое уравнение и приравнивая коэффициенты при одинаковых степенях коэффициента диффузности, получаем счетную систему зацепленных уравнений, из которых находим все коэффициенты искомых разложений.

Изложение метода ведется на примере классической задачи кинетической теории – задачи Крамерса, или задачи об изотермическом скольжении одноатомного газа в полупространстве над плоской твердой поверхностью. В задаче Крамерса на границе полупространства задается условие зеркально – диффузного отражения молекул газа от стенки, а вдали от границы полупространства задается градиент массовой скорости. Требуется найти так называемую скорость скольжения газа вдоль поверхности, функцию распределения и распределение массовой скорости в полупространстве. Скорость скольжения — это фиктивная скорость газа, которая получается, если профиль асимптотического распределения массовой скорости, вычисленную вдали от стенки на основе асимптотического распределения Чепмена — Энскога, пролонгировать до границы полупространства.

Предлагаемый метод обладает высокой эффективностью. Так, сравнение с точным решением показывает, что в третьем приближении ошибка не превосходит 0.1%.

Кроме того, в работе впервые рассматривается обратная задача Крамерса. В обратной задаче Крамерса скорость скольжения считается заданной, а неизвестной величиной является величина градиента массовой скорости газа как функция коэффициента диффузности.

Изложенный в работе метод был успешно применен [56]–[64] в решении ряда таких сложных задач кинетической теории, которые не допускают аналитического решения.

Список литературы

[1] *Ferziger J. H. and Kaper H. G.* Mathematical Theory of Transport Processes in Gases. - North-Holland Publishing Company. 1972.

[2] *Cercignani C.* Mathematical Methods in Kinetic Theory. - Plenum Press. New York. 1969.

[3] *Case K. M.* Elementary solutions of the transport equations and their applications//Ann. Phys. V.9.№1. 1960. P. 1–23.

[4] *Cercignani C.* Elementary solutions of the linearized gas–dynamics Boltzmann equation and their applications to the slip–flow problem//Ann. Phys. (USA) 1962. V. 20. No. 2. P. 219–233.

[5] *Cercignani C.* The method of elementary solutions for kinetic models with velocity-dependent collision frequency//Ann. Phys. 1966. V. 40. P. 469–481.

[6] *Cercignani C., Foresti P., Sernagiotto F.* Dependence of the slip coefficient on the form of the collision frequency.– Part 2. Nuovo Cimento. 1968. V. LV11. B. No.2. P. 297–306.

[7] *Cercignani C.* The Kramers problem for a not completely diffusing wall//J. Math. Phys. Appl. 1965. V.10. P. 568–586.

[8] *Cercignani C., Lampis M.* Kinetic model for gas–surface ineraction//Transport Theory and Statist. Physics. 1971. V.1. P. 101–109.

[9] *Kriese J.T., Chang T.S., Siewert C.E.* Elementary solutions of coupled model equations in the kinetic theory of gases// Intern. J. Eng. Sci. 1974. V. 12. No. 6. 441–470.

[10] *Cercignani C.* Analytic solution of the temperature jump problem for the BGK model// Transport Theory and Statist. Physics. V. 6. No. 1. 1977. P. 29–56.

[11] *Aoki K., Cercignani C.* A technique for time – dependent boundary value problems in the kinetix theory of gases. Part I. Basic analysis// J. Appl. Math. Phys. V. 35. No. 2. 1984. P. 127 – 143; Part II. Application to sound propag ation. – J. Appl. Math. Phys. V. 35. No. 3, 1984. P. 345 – 362.

[12] *Latyshev A.V.* Aplying the Case method to solving of linear kinetic BGK equation in problem on temperature jump// Appl. Math. and Mech. 1990. V. 54(4). P . 581 – 586.

[13] *Latyshev A.V., Yushkanov A.A., Dolgosheina E.B.* Exact solutions of model BGK equation in temptrature jump and week evaporation problems. – Fluid Dynamics. V. 27. No. 1. 1992.

[14] *Latyshev A.V., Yushkanov A.A.* An analytical solution of the problem of the temperature jumps and vapour density over a surface when there is a temperature gradient . – J. Appl. Maths Mechs. 1994. V. 58. No. 2, p.p. 259–265.

[15] *Latyshev A.V., Yushkanov A.A.* Analytic solution to the problem of the temperature jump in a gas with rotational degrees of freedom . – Teor. Math. Phys. 1993. V. 95, No. 3, June, p.p. 758–765.

[16] *Latyshev A.V., Yushkanov A.A.* The temperature jump and slow evaporation in molecular gases. – J. of experimental and theoretical physics. 1998, September. V. 87. No. 3. P. 518–526.

[17] *Latyshev A.V., Yushkanov A.A.* Constructing a model transport equation for a massless Bose gas and its analytic solution. – Theor. and Mathem. Physics, Vol .111, No. 3, 1997. P. 762 – 770.

[18] *Latyshev A.V., Yushkanov A.A.* Analytical Solution to the Problem of a Temperature Jump in a Metal. – Technical Physics. 2003. V. 48. No. 7, pp. 837 – 845.

[19] *Latyshev A.V., Yushkanov A.A.* Smolukhovski problem for electrons in a metal. – Theor. and Mathem. Phys. 2005. V. 142 (1). P. 79–95.

[20] *Latyshev A.V., Yushkanov A.A.* Smoluchowski's problem for molecular gases taking the accommodation coefficients of the translational and rotational energy of the molecules into account. – J. Appl. Maths Mehcs, 2002. Vol. 66, No. 5, pp. 787 – 795.

[21] *Latyshev A.V., Yushkanov A.A.* Analytical calculation of the parameters of a molecular gas on a surface in the Smoluchowski problem. – J. of Applied Mechanics and Technical Physics. 2001. Vol. 42. No. 3, pp. 460 – 468.

[22] *Latyshev A.V., Yushkanov A.A.* Analytical solution of one-dimensional problem about moderate strong evaporation (condensation) in half-space//J. Appl. Mech. and Tech. Phys. 1993. T. 34. No. 1. C. 102–106.

[23] *Latyshev A.V., Yushkanov A.A.* Analytic solution of the strong evaporation (condensation) problem . – Fluid. Mech. 1992, November – December, No. 6, p.p. 861–871.

[24] *Arthur M. D., Cercignani C.* Non–existence of a steady rarefied supersonic flow in a half–space// J. Appl. Math. Phys. – 1980. – V. 31, №5, 634 – 645.

[25] *Cassell J. S. and Williams M. M. R.* An exact solution of the temperature slip problem in rarefied gases. – Transport Theory and Statistical Physics, 2(1), 81–90 (1972).

[26] *Latyshev A.V., Yushkanov A.A.* Boundary value problems for a model Boltzmann equation with frequency proportional to the molecule velocity. – Fluid Dynamics. 1996. V. 31(3), p.p. 454–466.

[27] *Latyshev A.V., Yushkanov A.A.* The theory and accurate solutions of problems of the slip of a binary gas along a plane surface. – Comput. Maths. Math. Phys. 1991. V. 31 (8), p.p. 58–65.

[28] *Latyshev A.V., Yushkanov A.A.* Analytical solution of vector model kinetic equations with constant kernel and their applications. – Teor. Math. Phys. 1993. V. 97. No. 2, p.p. 1299–1311.

[29] *Latyshev A.V., Timchenko O.V.* Theory and accurate solutions of the problem of the isothermal slip of a medium – density binary gas. – Comput. Maths. Math. Phys. 1995. V. 35 (4), p.p. 459–469.

[30] *Kostikov A.A., Latyshev A.V., Yushkanov A.A.* Analytical Solution of the Problem of Concentration Jump during Evaporation of a Binary Mixture. – Technical Physics Letters. 2004. Vol. 30, No. 12, pp. 1023 – 1026.

[31] *Latyshev A.V., Yushkanov A.A.* The Kramers problem for the ellipsoidal – statistical Boltzmann equation with frequency proportional to the velocity of molecules. – Comput. Maths and Math. Phys. 1997. Vol. 37(4), p.p. 481 – 491.

[32] *Latyshev A.V., Yushkanov A.A.* Analytic Solution of Boundary Value Problems for the Shakhov Equation with the Collision Frequency Proportional to the Molecule Velocity. – Fluids Dynamics. 2003. V. 38. №4, pp. 632–645.

[33] *Latyshev A.V., Yushkanov A.A.* Analytical solutions of boundary value problems for ellipsoidal statistical equations. – J. Appl. Math. and Tech. Phys. 2004. V. 45. No. 5. Pp. 622–633.

[34] *Latyshev A.V., Yushkanov A.A.* Moment Boundary Condition in Rarefied Gas Slip–Flow Problems. – Fluid Dynamics. 2004. V. 39. No. 2, pp. 339–353.

[35] *Latyshev A.V., Yushkanov A.A.* A Method for Solving Boundary Value Problems for Kinetic Equations. – Comput. Maths and Math. Physics. Vol. 44. No. 6. 2004, pp. 1051–1061.

[36] *Latyshev A.V., Yushkanov A.A.* The Method of Singular Equations in Boundary Value Problems in Kinetic Theory. – Theor. and Mathem. Physics. 2005. 143(3). P. 855–870.

[37] *Latyshev A.V., Yushkanov A.A.* Analytic solution of boundary – value problems for nonstationary model kinetic equations . – Theor. Math. Phys. 1992. V. 92. No. 1, p.p. 782–790.

[38] *Latyshev A.V., Yushkanov A.A.* Nonstationary boundary problem for model kinetic equations at critical parameters. – Teor. and Math. Phys. 1998. V. 116. No. 2. P. 978 – 989. Coauthor: A. A. Yushkanov.

[39] *Latyshev A.V., Yushkanov A.A.* Application of the Case method in the analytical solution of a generalized problem of skin effect in a metal. – Comput. Maths and Mathem. Physics. 1999. V. 39. No. 6. P. 951 – 967. Coauthor: A.A. Yushkanov.

[40] *Latyshev A.V., Yushkanov A.A.* Analytical Description of the Skin Effect in a Metal by Using the Two–Parameter Kinetic Equations. – Comput. Maths and Math. Physics. Vol. 44. No. 10. 2004, pp. 1773–1783.

[41] *Latyshev A.V., Yushkanov A.A.* Skin – effect at a Finite Temperature with a Diffusive Condition on the Boundary of the Half – Space of the Conducting Medium. – Comp. Maths and Math. Phys. 2006. V. 46. No. 1, 141–153.

[42] *Latyshev A.V., Yushkanov A.A.* Skin Effect in a Gaseous Plasma with a Collision Frequency Proportional to the Electron Velocity. – Plasma Physics Report. 2006. Vol. 32. No. 11, pp. 943 – 948.

[43] *Latyshev A.V., Yushkanov A.A.* Kinetic equations for quantum Fermi gases and the analytic solution of boundary value problems. – Theoretical and Mathematical Physics. 2003. V. 134 (2). 272–285.

[44] *Latyshev A.V., Yushkanov A.A.* Electron Plasma in a Metal Half–Space in an Alternating Electric Field. – Comp. Math. and Math. Phys. 2001. Vol. 41. No. 8. Pp. 1169–1181.

[45] *Latyshev A.V., Yushkanov A.A.* Analytic solution to the problem of the behavior of a collisional plasma in a half–space in an external alternating electric field . – Teor. Math. Phys. 1995. V. 103. No. 2, May, p.p. 573–582.

[46] *Latyshev A.V., Yushkanov A.A.* Thermoelectric Phenomena at Grain Boundaries. – Technical Physics. Vol. 49. No. 11. 2004, pp. 1391–1397.

[47] *Latyshev A.V., Yushkanov A.A.* Degenerare plasma in a half – space under an external electric field. – Theor. and Mathem. Physics. 2006. 147(3), 854 – 867.

[48] *Latyshev A.V., Yushkanov A.A.* Degenerate Plasma in a Half – Space under an External Alternating Electric Field Near Resonance. – Physics of Solid State. 2006. Vol. 48. No. 12, pp. 2223 – 2239.

[49] *Latyshev A.V., Yushkanov A.A.* Nondegenerate Plasma with a Diffusive Boundary Condition in a High – Frequency Electric Field Near Resonance. – Comp. Maths and Math. Physics. 2007. Vol. 47. No. 1, pp. 118 – 125.

[50] *Latyshev A.V., Yushkanov A.A.* Reflection of plasma waves from a plane boundary. – Theor. and Mathem. Physics. V. 150 (3), 425 – 435 (2007).

[51] *Latyshev A.V., Yushkanov A.A.* Reflection of a Plasma Wave from the Flat Boundary of a Degenerate Plasma. – Technical Physics. 2007. Vol. 52. No. 3, pp. 306 – 312.

[52] *Latyshev A.V., Yushkanov A.A.* Behavior of a plasma with the collision rate proportional to the electron velocity in an external electric field. – Theor. and Math. Physics, 153 (3), pp. 1697 – 1708 (2007).

[53] *Latyshev A.V., Yushkanov A.A.* Response of the Electron Plasma in a Thin Metal Slab to a Low–Frequency External Electric Field//Russian Microelectronics, 2008, Vol. 37, No. 3, pp. 157–165.

[54] *Latyshev A.V., Yushkanov A.A.* Plasma in a Metal Layer Exposed to an RF Electric Field// Technical Physics 2008. Vol. 53, No. 5, pp. 562–570.

[55] *Alabina Y.F., Latyshev A.V., Yushkanov A.A.* Analytical solution of the skin effect problem with the displacement current in Maxwell plasma by the source method// J. Mathem. Phys. 2009. Vol. 50. No. 4. P. 3516-3524.

[56] *Latyshev A.V., Yushkanov A.A.* Smolukhowski problem for degenerate Bose gases// Theor. Mathem. Phys. Springer New York. Vol. 155, No. 3, June, 2008, pp. 936 – 948.

[57] *Latyshev A.V., Yushkanov A.A.* Solution of the Skin Effect Problem with Arbitrary Coefficient of Specular Reflection// Comp. Mathem. and Mathem. Physics. 2009. Vol. 49. No. 1, pp. 131 – 145.

[58] *Latyshev A.V., Yushkanov A.A.* Structure of the Electric Field im the Skin – Effect Problem// Physics of Solid State, 2009, Vol. 51, No. 4, pp. 662 – 669. ©Pleiades Publishing, Ltd., 2009.

[59] *Latyshev A.V., Yushkanov A.A.* Smoluchowski problem for metals with mirror–diffusive boundary conditions// Theor. and Mathem. Physics, **161** (1): 1403–1414 (2009).

[60] *Latyshev A.V., Yushkanov A.A.* Isothermal slip of a Fermi gas with specular–diffuse reflection from the boundary. – Russian Physics Journal: Volume 52, Issue 12 (2009), Page 1251.

[61] *Gritsienko N.V., Latyshev A.V., Yushkanov A.A.* Plasma Waves Reflection from a Boundary with Specular Accomodative Conditions. – Comp. Maths. and Math. Phys. 2010, Vo l. 50, No. 8, 1433–1446.

[62] *Latyshev A.V., Yushkanov A.A.* Skin effect with arbitrary specularity in Maxwellian Plasma//J. of Math. Phys. 2010. V. 51, P. 113505-1–113505-10, pp. 10.

[63] *Latyshev A.V., Yushkanov A.A.* Temperature jump in degenerate quantum gases in the presence of a Bose — Einstein condensate. Theor. and Mathem. Phys. V. 162(1), 95–105 (2010).

[64] *Latyshev A.V., Yushkanov A.A.* Temperature jump in degenerate quantum gases with the Bogoliubov exictation energy and in the presence of the Bose — Einstein condensate// Theor. and Mathem. Physics, **165**(1): 1359–1371 (2010).

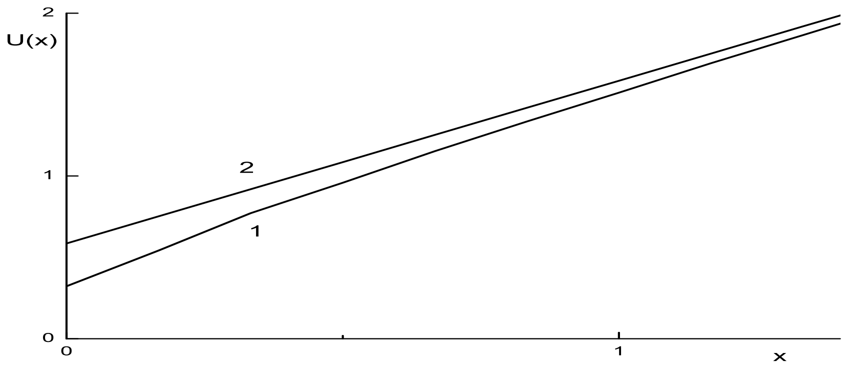

Рис. 1: Профиль массовой скорости в полупространстве, коэффициент диффузности равен: $q = 1$.

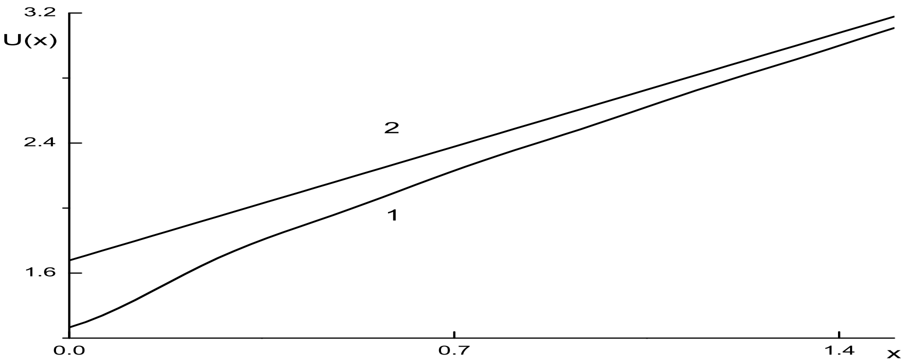

Рис. 2: Профиль массовой скорости в полупространстве, коэффициент диффузности равен: $q = 0.5$.

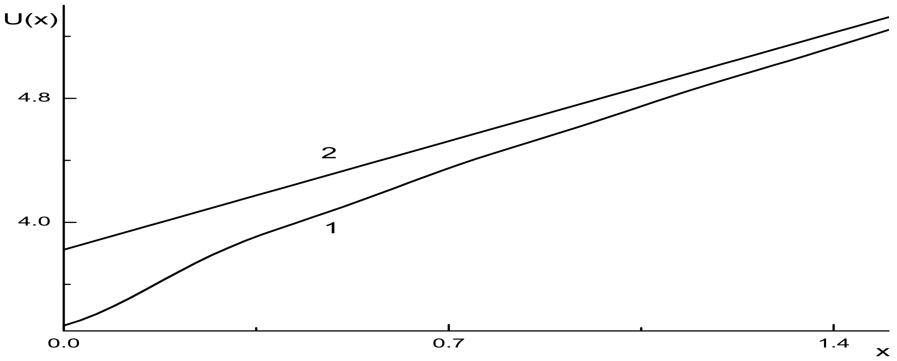

Рис. 3: Профиль массовой скорости в полупространстве, коэффициент диффузности равен: $q = 0.25$.